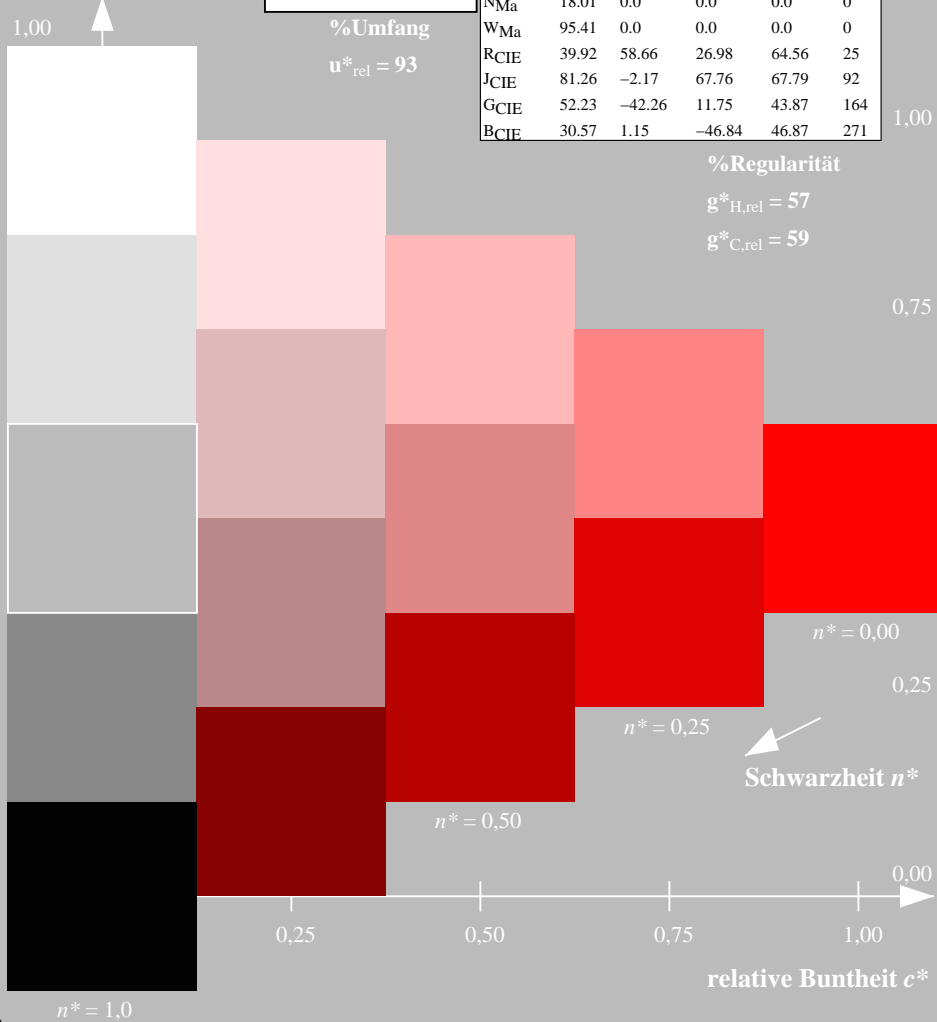


Eingabe: Farbmatisches Reflexions-System ORS18

für Buntton $h^* = lab^*h = 38/360 = 0.105$
 lab^*tch und lab^*nch

D65: Buntton O
 LCH*Ma: 48 83 38
 rgb*Ma: 1.0 0.0 0.0

Dreiecks-Helligkeit

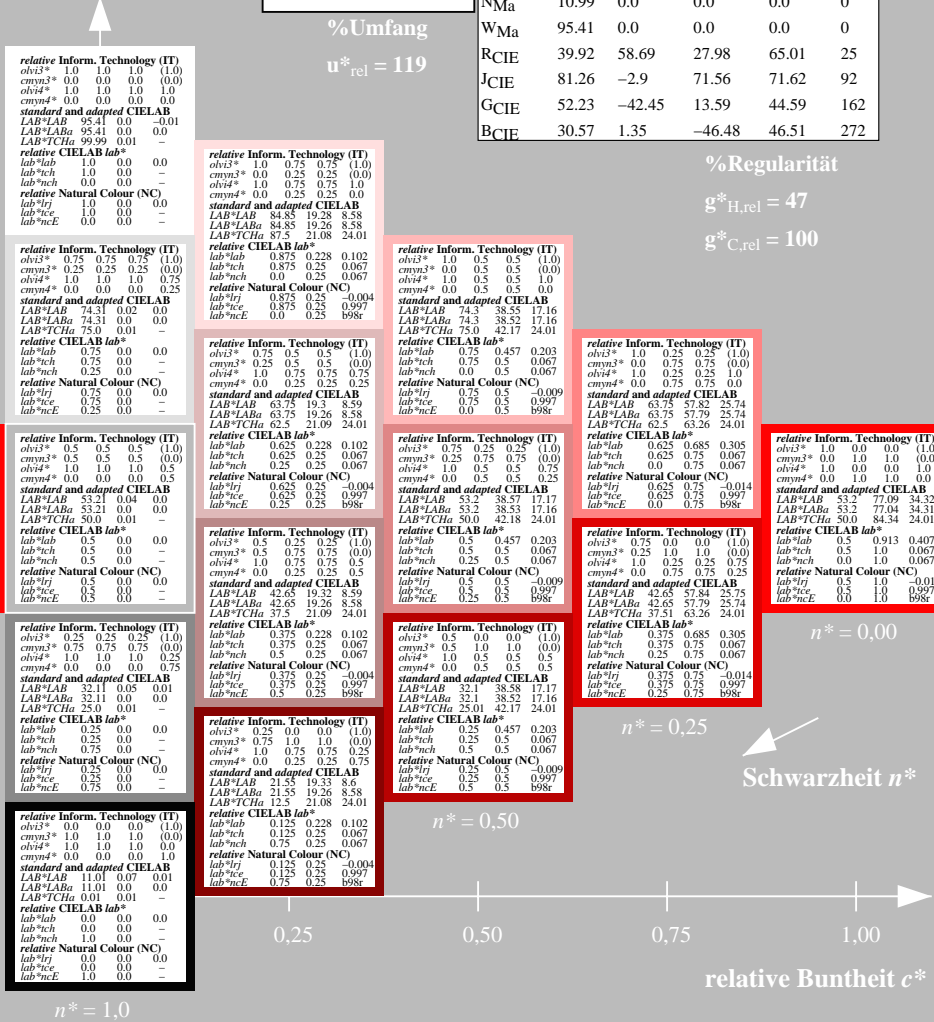


Ausgabe: Farbmatisches Reflexions-System NRS11

für Buntton $h^* = lab^*h = 24/360 = 0.067$
 lab^*tch und lab^*nch

D65: Buntton R
 LCH*Ma: 53 84 24
 rgb*Ma: 1.0 0.0 0.0

Dreiecks-Helligkeit



TG42-7, 5 stufige Reihen für konstanten CIELAB Buntton 38/360 = 0.105 (links)

5 stufige Reihen für konstanten CIELAB Buntton 24/360 = 0.067 (rechts)

BAM-Prüfvorlage TG42; Farbmatisches System ORS18 & NRS11 input: $olv^* setrgbcolor$
 D65: 5stufige Farbreihen und Koordinaten-Daten für 10 Bunttöneoutput: $olv^* setrgbcolor / w^* setgray$

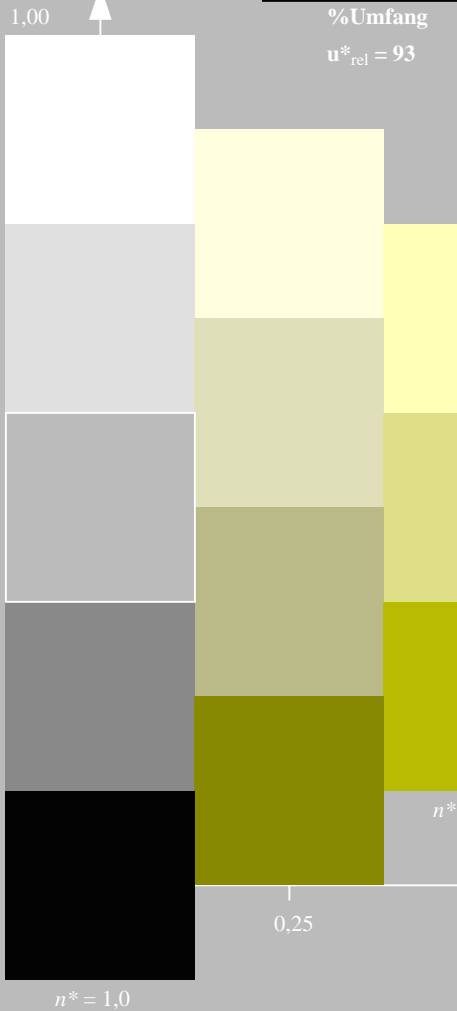
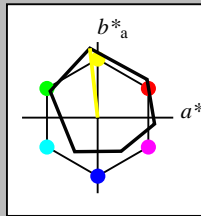
BAM-Registrierung: 20060101-TG42/10Q/Q42G00FP.PS/.PDF BAM-Material: Code=thata
 Anwendung für Beurteilung und Messung von Drucker- oder Monitorssystemen, Yr=2.5, XYZ
 TG42 Form 1/10, Serie 1/1, Seite 1
 Scherzung 1

Eingabe: Farbmatisches Reflexions-System ORS18

für Buntton $h^* = lab^*h = 96/360 = 0.268$
 lab^*tch und lab^*nch

D65: Buntton Y
 LCH*Ma: 90 92 96
 rgb*Ma: 1.0 1.0 0.0

Dreiecks-Helligkeit



ORS18; adaptierte CIELAB-Daten

	$L^*=L^*_a$	a^*_a	b^*_a	$C^*_{ab,a}$	$h^*_{ab,a}$
OMa	47.94	65.37	50.52	82.62	38
YMa	90.37	-10.27	91.77	92.34	96
LMa	50.9	-62.79	34.95	71.87	151
CMa	58.62	-30.35	-45.01	54.3	236
VMa	25.71	31.11	-44.42	54.24	305
MMa	48.13	75.27	-8.35	75.73	354
NMa	18.01	0.0	0.0	0.0	0
WMa	95.41	0.0	0.0	0.0	0
RCIE	39.92	58.66	26.98	64.56	25
JCIE	81.26	-2.17	67.76	67.79	92
GCIE	52.23	-42.26	11.75	43.87	164
BCIE	30.57	1.15	-46.84	46.87	271

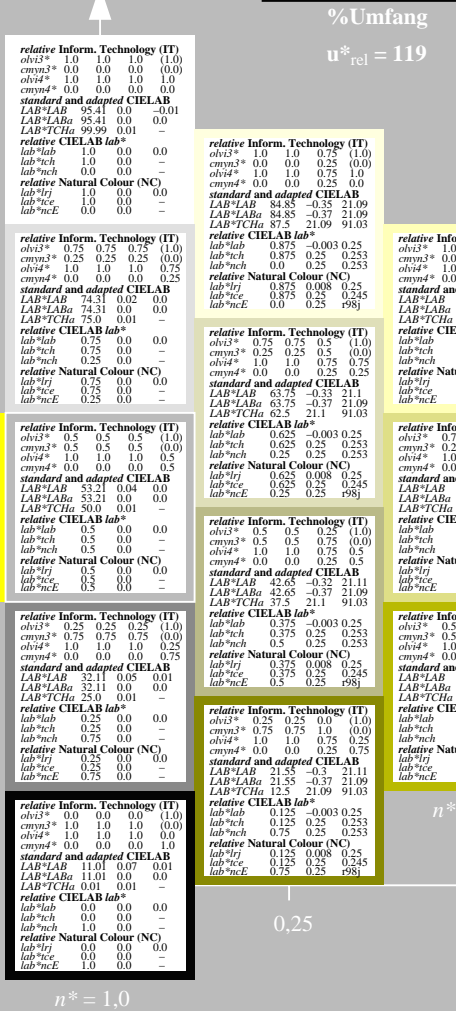
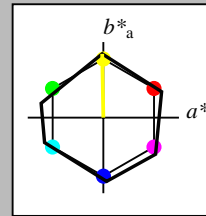
%Regularität
 $g^*_{H,rel} = 57$
 $g^*_{C,rel} = 59$

Ausgabe: Farbmatisches Reflexions-System NRS11

für Buntton $h^* = lab^*h = 91/360 = 0.253$
 lab^*tch und lab^*nch

D65: Buntton J
 LCH*Ma: 53 84 91
 rgb*Ma: 1.0 1.0 0.0

Dreiecks-Helligkeit



NRS11; adaptierte CIELAB-Daten

	$L^*=L^*_a$	a^*_a	b^*_a	$C^*_{ab,a}$	$h^*_{ab,a}$
RMa	53.2	77.06	34.32	84.36	24
JMa	53.2	-1.51	84.38	84.39	91
GMa	53.2	-82.27	18.98	84.44	167
G50BMa	53.2	-77.72	-32.98	84.44	203
BMa	53.2	4.37	-84.28	84.41	273
B50RMa	53.2	69.09	-48.41	84.37	325
NMa	10.99	0.0	0.0	0.0	0
WMa	95.41	0.0	0.0	0.0	0
RCIE	39.92	58.69	27.98	65.01	25
JCIE	81.26	-2.9	71.56	71.62	92
GCIE	52.23	-42.45	13.59	44.59	162
BCIE	30.57	1.35	-46.48	46.51	272

%Regularität
 $g^*_{H,rel} = 47$
 $g^*_{C,rel} = 100$

TG42-7, 5 stufige Reihen für konstanten CIELAB Buntton 96/360 = 0.268 (links)

5 stufige Reihen für konstanten CIELAB Buntton 91/360 = 0.253 (rechts)

BAM-Prüfvorlage TG42; Farbmatisches System ORS18 & NRS11 input: $olv^* setrgbcolor$
 D65: 5stufige Farbreihen und Koordinaten-Daten für 10 Bunttöneoutput: $olv^* setrgbcolor / w^* setgray$

Siehe ähnliche Dateien: <http://www.ps.bam.de/TG42/>
 Technische Information: <http://www.ps.bam.de> Version 2.1, io=1.1, CIEXYZ

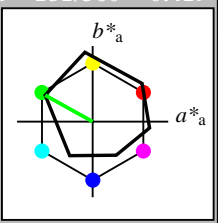
BAM-Registrierung: 20060101-TG42/10Q/Q42G01FP.PS/.PDF BAM-Material: Code=thata
 Anwendung für Beurteilung und Messung von Drucker- oder Monitorsystemen, Yr=2.5, XYZ
 /TG42/ Form 2/10, Serie: 1/1, Seite: 2
 Seitenanzahl 2

Eingabe: Farbmatisches Reflexions-System ORS18

für Buntton $h^* = lab^*h = 151/360 = 0.419$
 lab^*tch und lab^*nch

D65: Buntton L
 LCH*Ma: 51 72 151
 rgb*Ma: 0.0 1.0 0.0

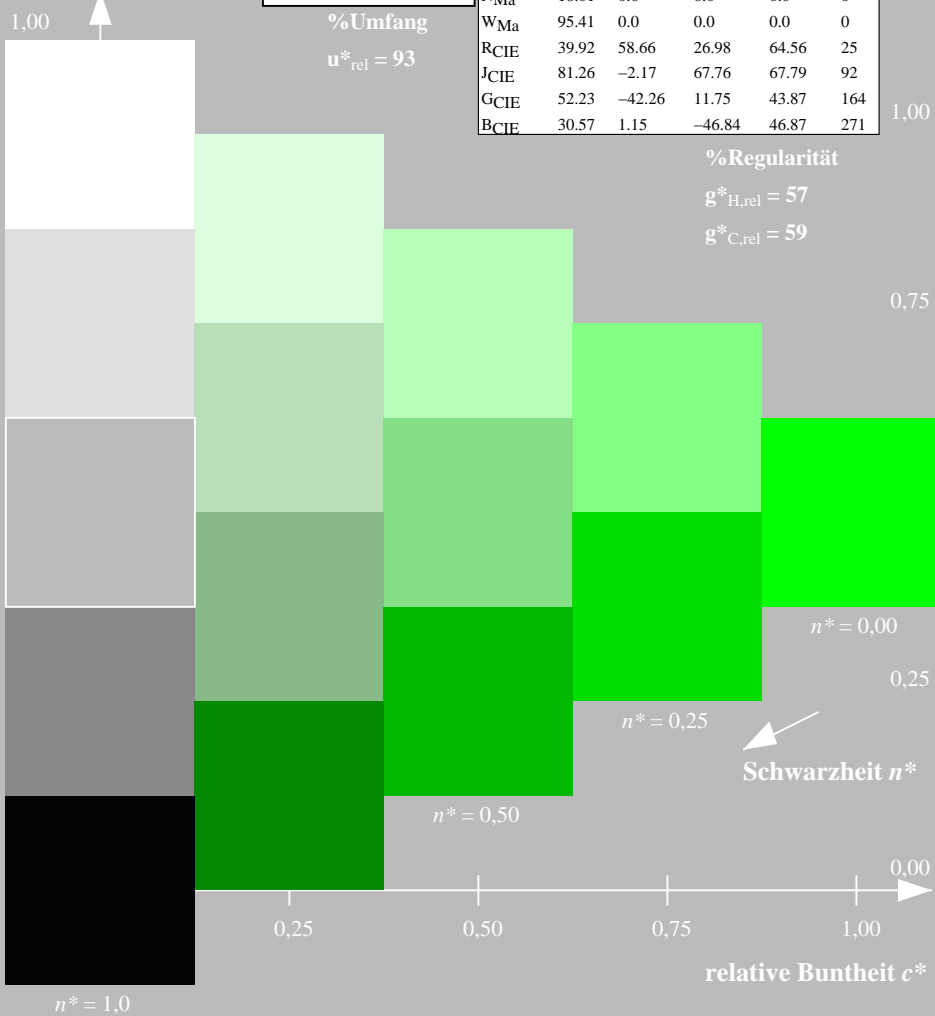
Dreiecks-Helligkeit



ORS18; adaptierte CIELAB-Daten

	$L^*=L^*_a$	a^*_a	b^*_a	$C^*_{ab,a}$	$h^*_{ab,a}$
OMa	47.94	65.37	50.52	82.62	38
YMa	90.37	-10.27	91.77	92.34	96
LMa	50.9	-62.79	34.95	71.87	151
CMa	58.62	-30.35	-45.01	54.3	236
VMa	25.71	31.11	-44.42	54.24	305
MMa	48.13	75.27	-8.35	75.73	354
NMa	18.01	0.0	0.0	0.0	0
WMa	95.41	0.0	0.0	0.0	0
RCIE	39.92	58.66	26.98	64.56	25
JCIE	81.26	-2.17	67.76	67.79	92
GCIE	52.23	-42.26	11.75	43.87	164
BCIE	30.57	1.15	-46.84	46.87	271

%Regularität
 $g^*_{H,rel} = 57$
 $g^*_{C,rel} = 59$



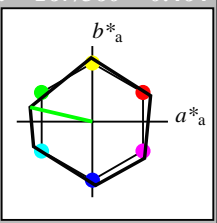
TG420-7, 5 stufige Reihen für konstanten CIELAB Buntton 151/360 = 0.419 (links)

Ausgabe: Farbmatisches Reflexions-System NRS11

für Buntton $h^* = lab^*h = 167/360 = 0.464$
 lab^*tch und lab^*nch

D65: Buntton G
 LCH*Ma: 53 84 167
 rgb*Ma: 0.0 1.0 0.0

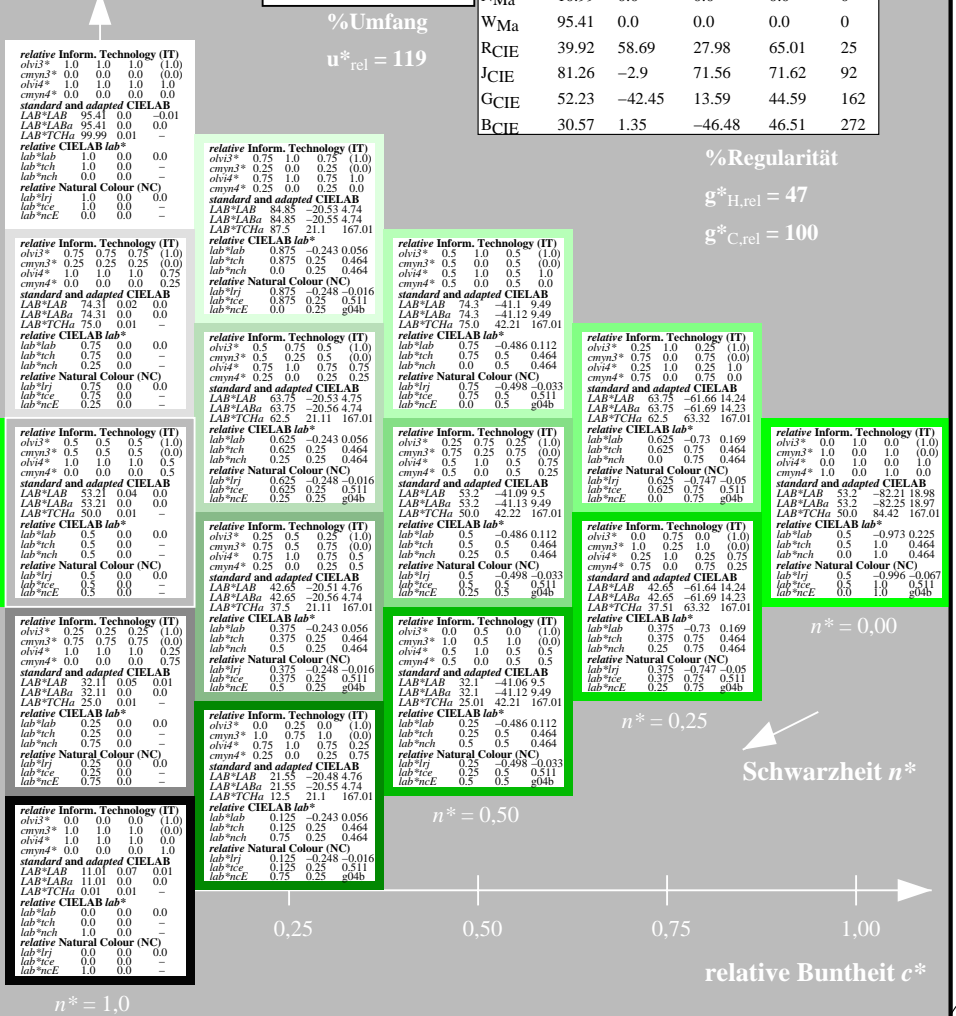
Dreiecks-Helligkeit



NRS11; adaptierte CIELAB-Daten

	$L^*=L^*_a$	a^*_a	b^*_a	$C^*_{ab,a}$	$h^*_{ab,a}$
RMa	53.2	77.06	34.32	84.36	24
JMa	53.2	-1.51	84.38	84.39	91
GMa	53.2	-82.27	18.98	84.44	167
G50BMa	53.2	-77.72	-32.98	84.44	203
BMa	53.2	4.37	-84.28	84.41	273
B50RMa	53.2	69.09	-48.41	84.37	325
NMa	10.99	0.0	0.0	0.0	0
WMa	95.41	0.0	0.0	0.0	0
RCIE	39.92	58.69	27.98	65.01	25
JCIE	81.26	-2.9	71.56	71.62	92
GCIE	52.23	-42.45	13.59	44.59	162
BCIE	30.57	1.35	-46.48	46.51	272

%Regularität
 $g^*_{H,rel} = 47$
 $g^*_{C,rel} = 100$



5 stufige Reihen für konstanten CIELAB Buntton 167/360 = 0.464 (rechts)

BAM-Prüfvorlage TG42; Farbmatrik-Systeme ORS18 & NRS11 input: $olv^* setrgbcolor$
 D65: 5stufige Farbreihen und Koordinaten-Daten für 10 Bunttöneoutput: $lab^* setrgbcolor / w^* setgray$

Siehe ähnliche Dateien: <http://www.ps.bam.de/TG42/>
 Technische Information: <http://www.ps.bam.de> Version 2.1, io=1,1, CIEXYZ

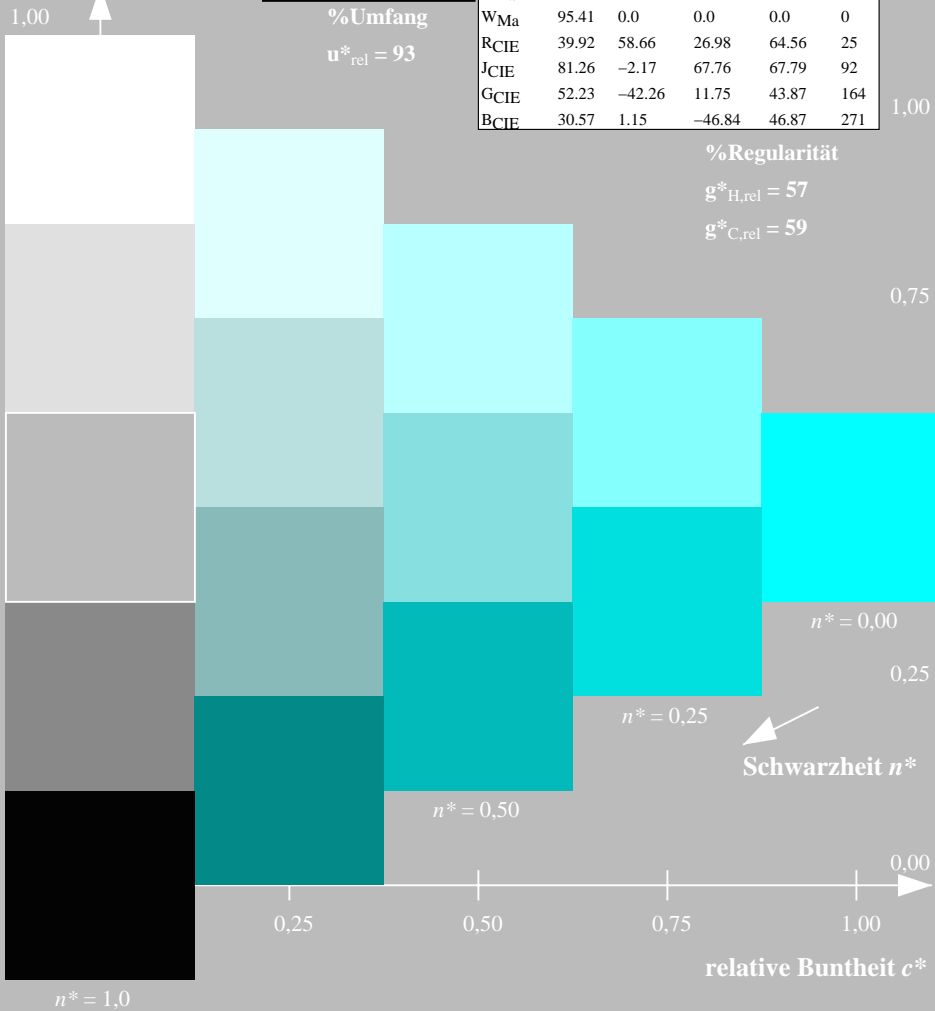
BAM-Registrierung: 20060101-TG42/10Q/Q42G02FP.PS/.PDF BAM-Material: Code=th4ta
 Anwendung für Beurteilung und Messung von Drucker- oder Monitorssystemen, Yr=2.5, XYZ
 /TG42/ Form: 3/10, Serie: 1/1, Seite: 3
 Seitenhang 3

Eingabe: Farbmatisches Reflexions-System ORS18

für Buntton $h^* = lab^*h = 236/360 = 0.656$
 lab^*tch und lab^*nch

D65: Buntton C
 LCH*Ma: 59 54 236
 rgb*Ma: 0.0 1.0 1.0

Dreiecks-Helligkeit



ORS18; adaptierte CIELAB-Daten

	$L^* = L^*_a$	a^*_a	b^*_a	$C^*_{ab,a}$	$h^*_{ab,a}$
OMa	47.94	65.37	50.52	82.62	38
YMa	90.37	-10.27	91.77	92.34	96
LMa	50.9	-62.79	34.95	71.87	151
CMa	58.62	-30.35	-45.01	54.3	236
VMa	25.71	31.11	-44.42	54.24	305
MMa	48.13	75.27	-8.35	75.73	354
NMa	18.01	0.0	0.0	0.0	0
WMa	95.41	0.0	0.0	0.0	0
RCIE	39.92	58.66	26.98	64.56	25
JCIE	81.26	-2.17	67.76	67.79	92
GCIE	52.23	-42.26	11.75	43.87	164
BCIE	30.57	1.15	-46.84	46.87	271

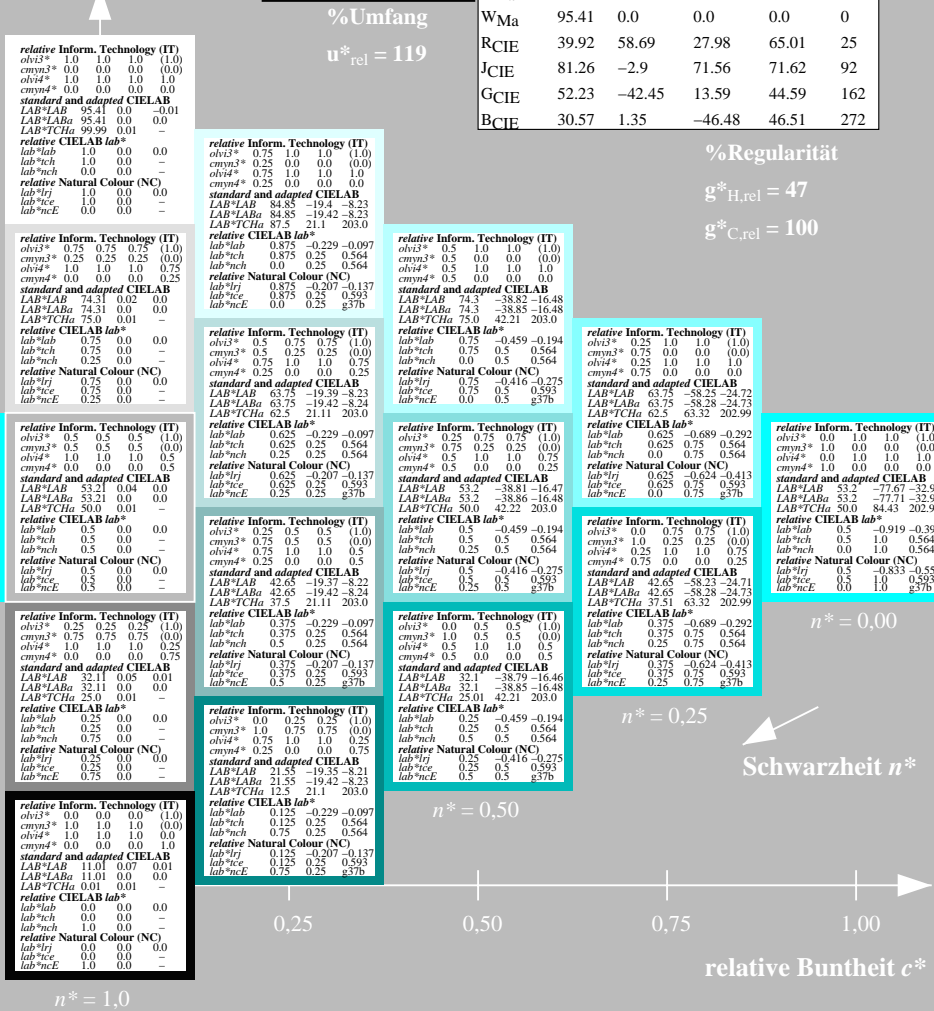
%Regularität
 $g^*_{H,rel} = 57$
 $g^*_{C,rel} = 59$

Ausgabe: Farbmatisches Reflexions-System NRS11

für Buntton $h^* = lab^*h = 203/360 = 0.564$
 lab^*tch und lab^*nch

D65: Buntton G50B
 LCH*Ma: 53 84 203
 rgb*Ma: 0.0 1.0 1.0

Dreiecks-Helligkeit



NRS11; adaptierte CIELAB-Daten

	$L^* = L^*_a$	a^*_a	b^*_a	$C^*_{ab,a}$	$h^*_{ab,a}$
RMa	53.2	77.06	34.32	84.36	24
JMa	53.2	-1.51	84.38	84.39	91
GMa	53.2	-82.27	18.98	84.44	167
G50BMa	53.2	-77.72	-32.98	84.44	203
BMa	53.2	4.37	-84.28	84.41	273
B50RMa	53.2	69.09	-48.41	84.37	325
NMa	10.99	0.0	0.0	0.0	0
WMa	95.41	0.0	0.0	0.0	0
RCIE	39.92	58.69	27.98	65.01	25
JCIE	81.26	-2.9	71.56	71.62	92
GCIE	52.23	-42.45	13.59	44.59	162
BCIE	30.57	1.35	-46.48	46.51	272

%Regularität
 $g^*_{H,rel} = 47$
 $g^*_{C,rel} = 100$

TG42-7, 5 stufige Reihen für konstanten CIELAB Buntton 236/360 = 0.656 (links)

5 stufige Reihen für konstanten CIELAB Buntton 203/360 = 0.564 (rechts)

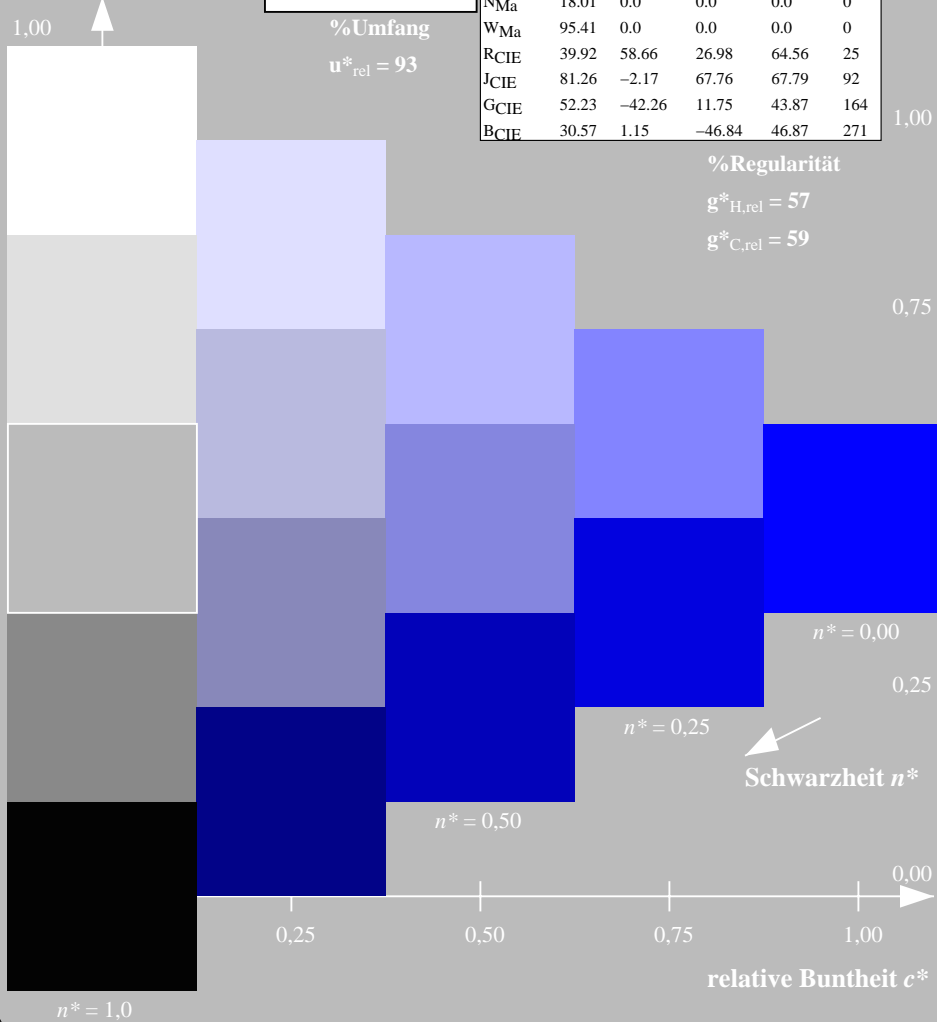
BAM-Prüfvorlage TG42; Farbmatisches System ORS18 & NRS11 input: $olv^* setrgbcolor$
 D65: 5stufige Farbreihen und Koordinaten-Daten für 10 Bunttöne output: $olv^* setrgbcolor / w^* setgray$

Eingabe: Farbmatisches Reflexions-System ORS18

für Buntton $h^* = lab^*h = 305/360 = 0.847$
 lab^*tch und lab^*nch

D65: Buntton V
 LCH*Ma: 26 54 305
 rgb*Ma: 0.0 0.0 1.0

Dreiecks-Helligkeit



ORS18; adaptierte CIELAB-Daten

	$L^*=L^*_a$	a^*_a	b^*_a	$C^*_{ab,a}$	$h^*_{ab,a}$
OMa	47.94	65.37	50.52	82.62	38
YMa	90.37	-10.27	91.77	92.34	96
LMa	50.9	-62.79	34.95	71.87	151
CMa	58.62	-30.35	-45.01	54.3	236
VMa	25.71	31.11	-44.42	54.24	305
MMa	48.13	75.27	-8.35	75.73	354
NMa	18.01	0.0	0.0	0.0	0
WMa	95.41	0.0	0.0	0.0	0
RCIE	39.92	58.66	26.98	64.56	25
JCIE	81.26	-2.17	67.76	67.79	92
GCIE	52.23	-42.26	11.75	43.87	164
BCIE	30.57	1.15	-46.84	46.87	271

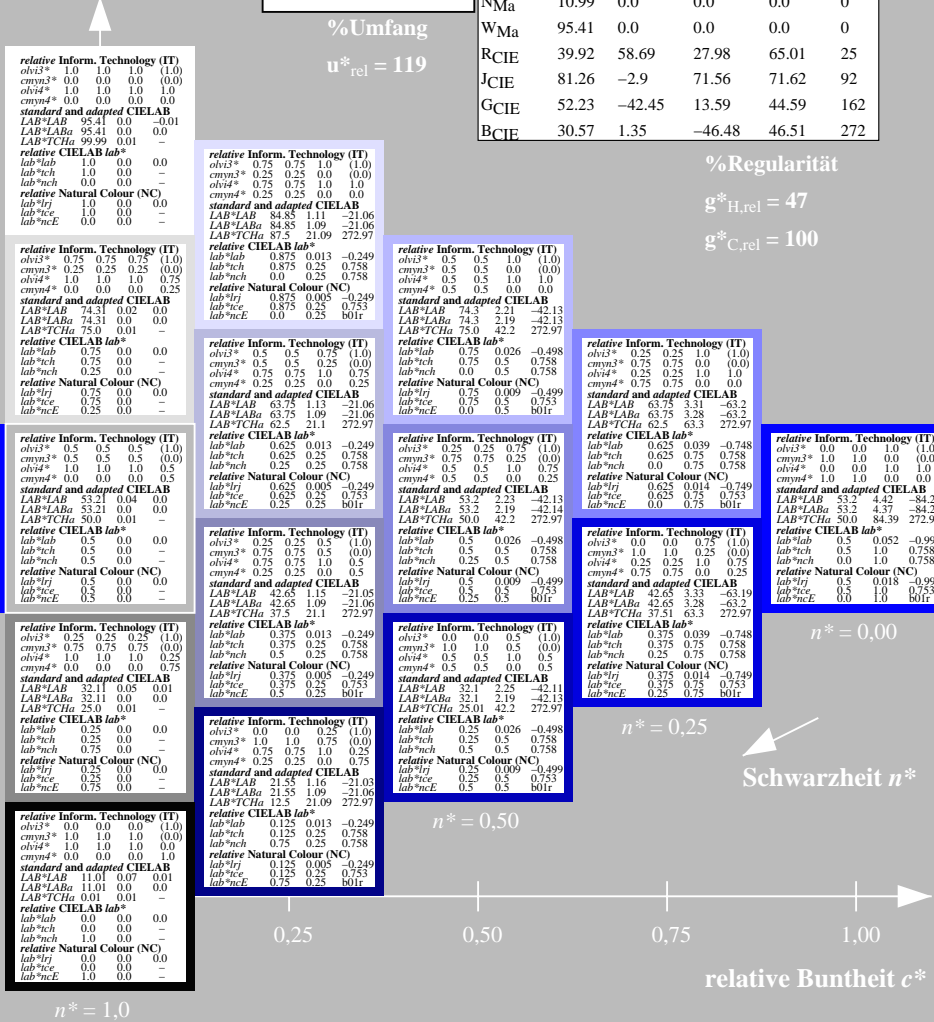
%Regularität
 $g^*_{H,rel} = 57$
 $g^*_{C,rel} = 59$

Ausgabe: Farbmatisches Reflexions-System NRS11

für Buntton $h^* = lab^*h = 273/360 = 0.758$
 lab^*tch und lab^*nch

D65: Buntton B
 LCH*Ma: 53 84 273
 rgb*Ma: 0.0 0.0 1.0

Dreiecks-Helligkeit



NRS11; adaptierte CIELAB-Daten

	$L^*=L^*_a$	a^*_a	b^*_a	$C^*_{ab,a}$	$h^*_{ab,a}$
RMa	53.2	77.06	34.32	84.36	94
JMa	53.2	-1.51	84.38	84.39	91
GMa	53.2	-82.27	18.98	84.44	167
G50BMa	53.2	-77.72	-32.98	84.44	203
BMa	53.2	4.37	-84.28	84.41	273
B50RMa	53.2	69.09	-48.41	84.37	325
NMa	10.99	0.0	0.0	0.0	0
WMa	95.41	0.0	0.0	0.0	0
RCIE	39.92	58.69	27.98	65.01	25
JCIE	81.26	-2.9	71.56	71.62	92
GCIE	52.23	-42.45	13.59	44.59	162
BCIE	30.57	1.35	-46.48	46.51	272

%Regularität
 $g^*_{H,rel} = 47$
 $g^*_{C,rel} = 100$

TG420-7, 5 stufige Reihen für konstanten CIELAB Buntton 305/360 = 0.847 (links)

5 stufige Reihen für konstanten CIELAB Buntton 273/360 = 0.758 (rechts)

BAM-Prüfvorlage TG42; Farbmatisches System ORS18 & NRS11 input: $olv^* setrgbcolor$
 D65: 5stufige Farbreihen und Koordinaten-Daten für 10 Bunttöne output: $olv^* setrgbcolor / w^* setgray$

Siehe ähnliche Dateien: <http://www.ps.bam.de/TG42/>
 Technische Information: <http://www.ps.bam.de> Version 2.1, io=1,1, CIEXYZ

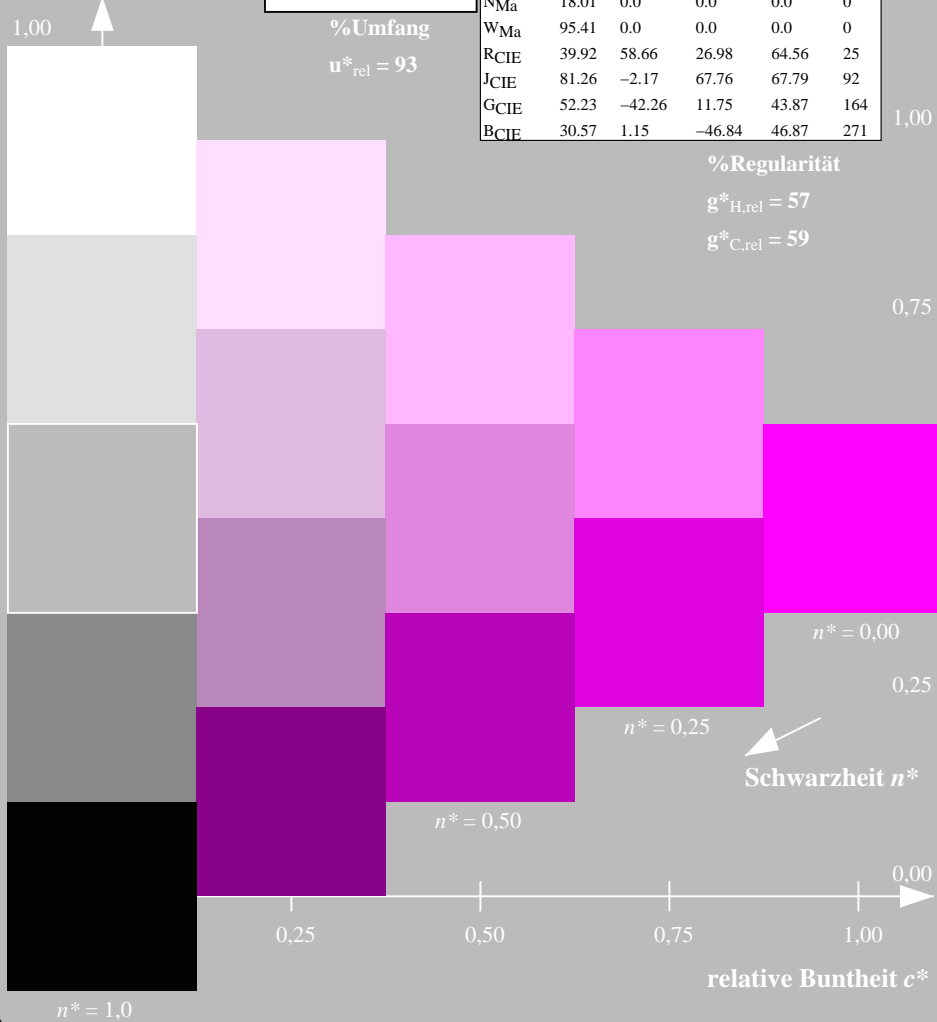
BAM-Registrierung: 20060101-TG42/10Q/Q42G04FP.PS/.PDF BAM-Material: Code=th4ta
 Anwendung für Beurteilung und Messung von Drucker- oder Monitorssystemen, Yr=2.5, XYZ
 Form 5/10, Serie: 1/1, Seite: 5
 Scherzhang 5

Eingabe: Farbmatisches Reflexions-System ORS18

für Buntton $h^* = lab^*h = 354/360 = 0.982$
 lab^*tch und lab^*nch

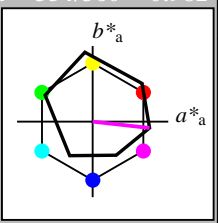
D65: Buntton M
 LCH*Ma: 48 76 354
 rgb*Ma: 1.0 0.0 1.0

Dreiecks-Helligkeit



ORS18; adaptierte CIELAB-Daten

	$L^* = L^*_a$	a^*_a	b^*_a	$C^*_{ab,a}$	$h^*_{ab,a}$
OMa	47.94	65.37	50.52	82.62	38
YMa	90.37	-10.27	91.77	92.34	96
LMa	50.9	-62.79	34.95	71.87	151
CMa	58.62	-30.35	-45.01	54.3	236
VMa	25.71	31.11	-44.42	54.24	305
MMa	48.13	75.27	-8.35	75.73	354
NMa	18.01	0.0	0.0	0.0	0
WMa	95.41	0.0	0.0	0.0	0
RCIE	39.92	58.66	26.98	64.56	25
JCIE	81.26	-2.17	67.76	67.79	92
GCIE	52.23	-42.26	11.75	43.87	164
BCIE	30.57	1.15	-46.84	46.87	271



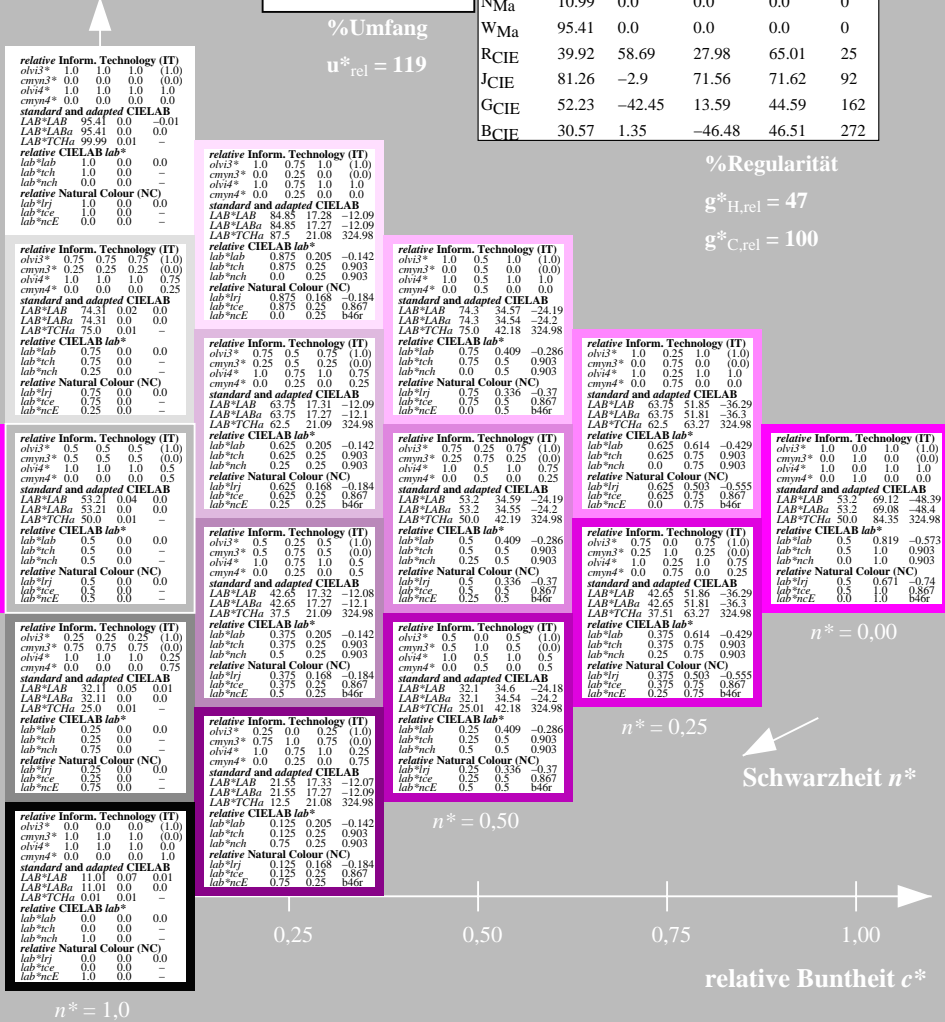
%Regularität
 $g^*_{H,rel} = 57$
 $g^*_{C,rel} = 59$

Ausgabe: Farbmatisches Reflexions-System NRS11

für Buntton $h^* = lab^*h = 325/360 = 0.903$
 lab^*tch und lab^*nch

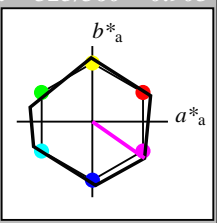
D65: Buntton B50R
 LCH*Ma: 53 84 325
 rgb*Ma: 1.0 0.0 1.0

Dreiecks-Helligkeit



NRS11; adaptierte CIELAB-Daten

	$L^* = L^*_a$	a^*_a	b^*_a	$C^*_{ab,a}$	$h^*_{ab,a}$
RMa	53.2	77.06	34.32	84.36	24
JMa	53.2	-1.51	84.38	84.39	91
GMa	53.2	-82.27	18.98	84.44	167
G50BMa	53.2	-77.72	-32.98	84.44	203
BMa	53.2	4.37	-84.28	84.41	273
B50RMa	53.2	69.09	-48.41	84.37	325
NMa	10.99	0.0	0.0	0.0	0
WMa	95.41	0.0	0.0	0.0	0
RCIE	39.92	58.69	27.98	65.01	25
JCIE	81.26	-2.9	71.56	71.62	92
GCIE	52.23	-42.45	13.59	44.59	162
BCIE	30.57	1.35	-46.48	46.51	272



%Regularität
 $g^*_{H,rel} = 47$
 $g^*_{C,rel} = 100$

TG42-7, 5 stufige Reihen für konstanten CIELAB Buntton 354/360 = 0.982 (links)

5 stufige Reihen für konstanten CIELAB Buntton 325/360 = 0.903 (rechts)

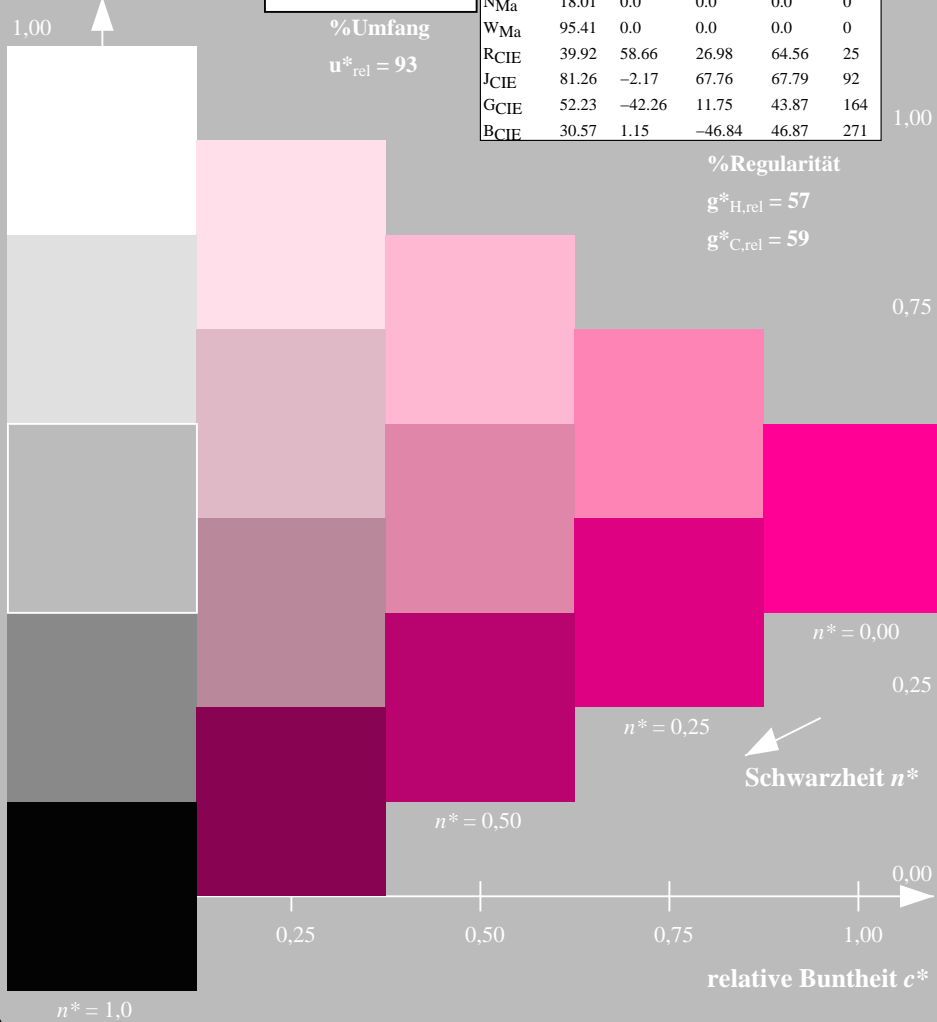
BAM-Prüfvorlage TG42; Farbmatrik-Systeme ORS18 & NRS11 input: $olv^* setrgbcolor$
 D65: 5stufige Farbreihen und Koordinaten-Daten für 10 Bunttöneoutput: $olv^* setrgbcolor / w^* setgray$

Eingabe: Farbmatisches Reflexions-System ORS18

für Buntton $h^* = lab^*h = 25/360 = 0.069$
 lab^*tch und lab^*nch

D65: Buntton R
 LCH*Ma: 48 75 25
 rgb*Ma: 1.0 0.0 0.32

Dreiecks-Helligkeit



ORS18; adaptierte CIELAB-Daten

	$L^*=L^*_a$	a^*_a	b^*_a	$C^*_{ab,a}$	$h^*_{ab,a}$
OMa	47.94	65.37	50.52	82.62	38
YMa	90.37	-10.27	91.77	92.34	96
LMa	50.9	-62.79	34.95	71.87	151
CMa	58.62	-30.35	-45.01	54.3	236
VMa	25.71	31.11	-44.42	54.24	305
MMa	48.13	75.27	-8.35	75.73	354
NMa	18.01	0.0	0.0	0.0	0
WMa	95.41	0.0	0.0	0.0	0
RCIE	39.92	58.66	26.98	64.56	25
JCIE	81.26	-2.17	67.76	67.79	92
GCIE	52.23	-42.26	11.75	43.87	164
BCIE	30.57	1.15	-46.84	46.87	271

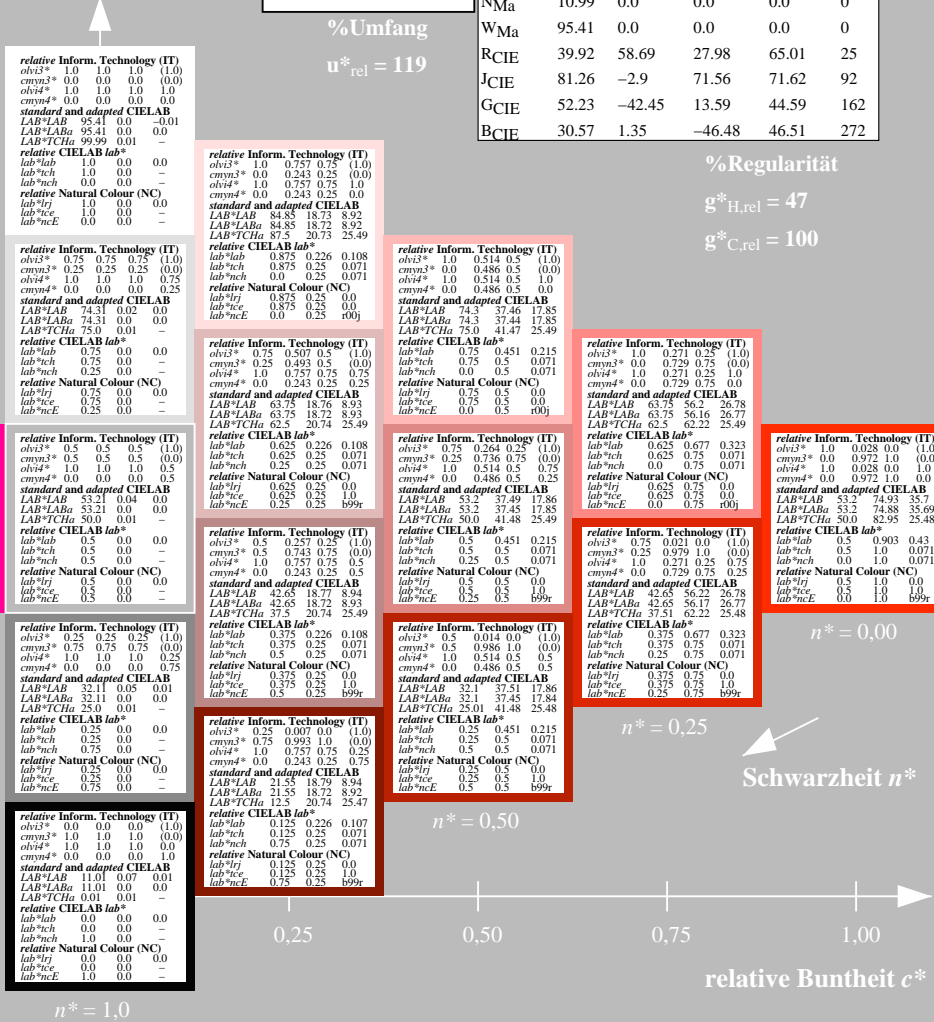
%Regularität
 $g^*_{H,rel} = 57$
 $g^*_{C,rel} = 59$

Ausgabe: Farbmatisches Reflexions-System NRS11

für Buntton $h^* = lab^*h = 25/360 = 0.071$
 lab^*tch und lab^*nch

D65: Buntton R
 LCH*Ma: 53 83 25
 rgb*Ma: 1.0 0.03 0.0

Dreiecks-Helligkeit



NRS11; adaptierte CIELAB-Daten

	$L^*=L^*_a$	a^*_a	b^*_a	$C^*_{ab,a}$	$h^*_{ab,a}$
RMa	53.2	77.06	34.32	84.36	24
JMa	53.2	-1.51	84.38	84.39	91
GMa	53.2	-82.27	18.98	84.44	167
G50BMa	53.2	-77.72	-32.98	84.44	203
BMa	53.2	4.37	-84.28	84.41	273
B50RMa	53.2	69.09	-48.41	84.37	325
NMa	10.99	0.0	0.0	0.0	0
WMa	95.41	0.0	0.0	0.0	0
RCIE	39.92	58.69	27.98	65.01	25
JCIE	81.26	-2.9	71.56	71.62	92
GCIE	52.23	-42.45	13.59	44.59	162
BCIE	30.57	1.35	-46.48	46.51	272

%Regularität
 $g^*_{H,rel} = 47$
 $g^*_{C,rel} = 100$

TG42-7, 5 stufige Reihen für konstanten CIELAB Buntton 25/360 = 0.069 (links)

5 stufige Reihen für konstanten CIELAB Buntton 25/360 = 0.071 (rechts)

BAM-Prüfvorlage TG42; Farbmatisches System ORS18 & NRS11 input: $olv^* setrgbcolor$
 D65: 5stufige Farbreihen und Koordinaten-Daten für 10 Bunttöneoutput: $olv^* setrgbcolor / w^* setgray$

Siehe ähnliche Dateien: <http://www.ps.bam.de/TG42/>
 Technische Information: <http://www.ps.bam.de/Version 2.1, io=1,1, CIEXYZ>

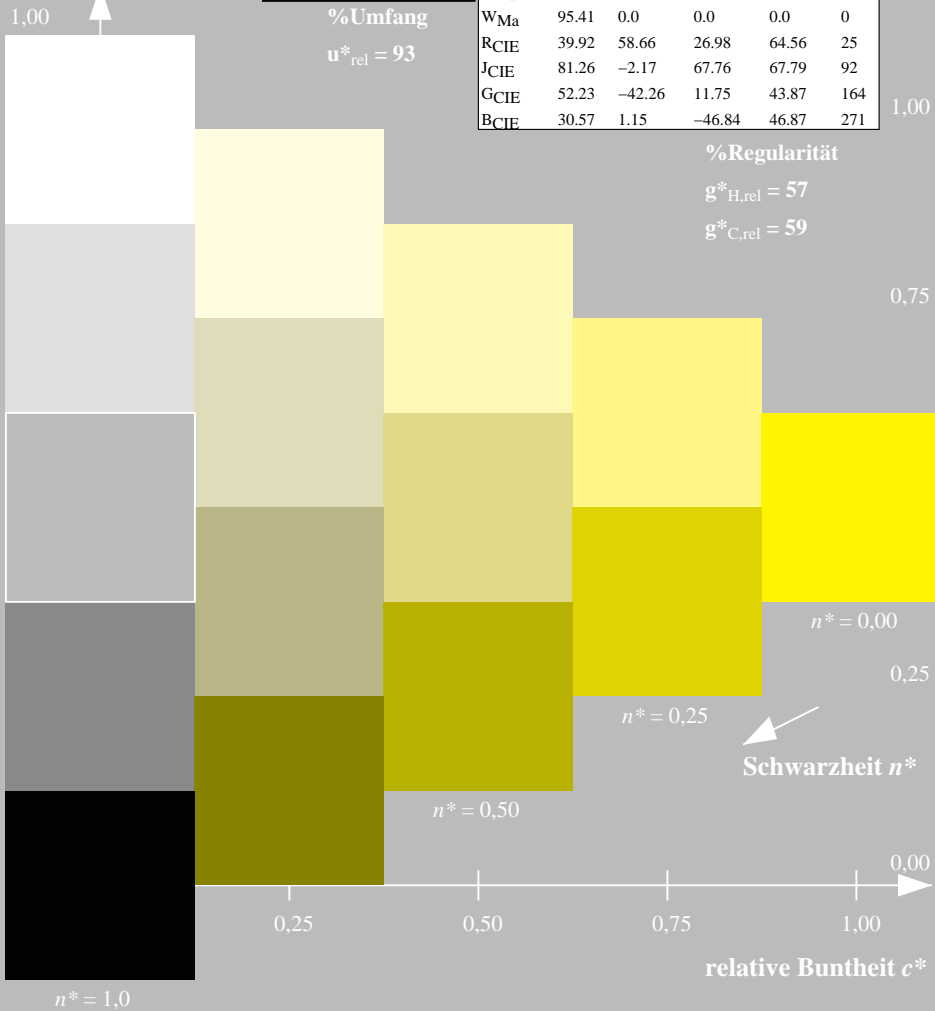
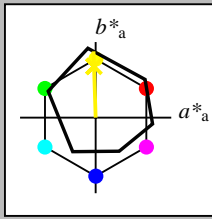
BAM-Registrierung: 20060101-TG42/10Q/Q42G06FP.PS/.PDF BAM-Material: Code=thata4ta
 Anwendung für Beurteilung und Messung von Drucker- oder Monitorssystemen, Yr=2.5, XYZ
 TG42 Form 7/10, Serie 1/1, Seite 7
 Seitenanzahl 7

Eingabe: Farbmatisches Reflexions-System ORS18

für Buntton $h^* = lab^*h = 92/360 = 0.255$
 lab^*tch und lab^*nch

D65: Buntton J
 LCH*Ma: 86 88 92
 rgb*Ma: 1.0 0.9 0.0

Dreiecks-Helligkeit



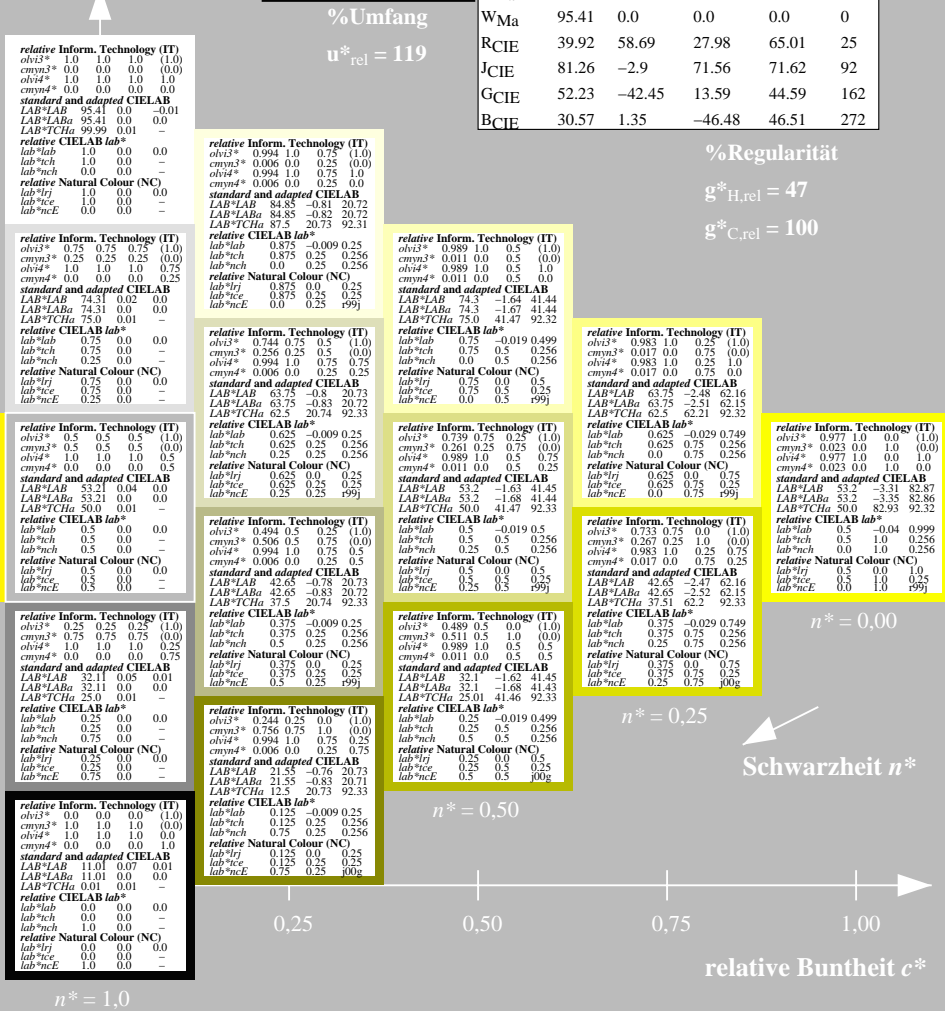
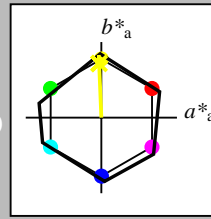
TG420-7, 5-stufige Reihen für konstanten CIELAB Buntton 92/360 = 0.255 (links)

Ausgabe: Farbmatisches Reflexions-System NRS11

für Buntton $h^* = lab^*h = 92/360 = 0.256$
 lab^*tch und lab^*nch

D65: Buntton J
 LCH*Ma: 53 83 92
 rgb*Ma: 0.98 1.0 0.0

Dreiecks-Helligkeit



5-stufige Reihen für konstanten CIELAB Buntton 92/360 = 0.256 (rechts)

ORS18; adaptierte CIELAB-Daten

	$L^*=L^*_a$	a^*_a	b^*_a	$C^*_{ab,a}$	$h^*_{ab,a}$
OMa	47.94	65.37	50.52	82.62	38
YMa	90.37	-10.27	91.77	92.34	96
LMa	50.9	-62.79	34.95	71.87	151
CMa	58.62	-30.35	-45.01	54.3	236
VMa	25.71	31.11	-44.42	54.24	305
MMa	48.13	75.27	-8.35	75.73	354
NMa	18.01	0.0	0.0	0.0	0
WMa	95.41	0.0	0.0	0.0	0
RCIE	39.92	58.66	26.98	64.56	25
JCIE	81.26	-2.17	67.76	67.79	92
GCIE	52.23	-42.26	11.75	43.87	164
BCIE	30.57	1.15	-46.84	46.87	271

%Regularität

$g^*_{H,rel} = 57$

$g^*_{C,rel} = 59$

NRS11; adaptierte CIELAB-Daten

	$L^*=L^*_a$	a^*_a	b^*_a	$C^*_{ab,a}$	$h^*_{ab,a}$
RMa	53.2	77.06	34.32	84.36	24
JMa	53.2	-1.51	84.38	84.39	91
GMa	53.2	-82.27	18.98	84.44	167
G50BMa	53.2	-77.72	-32.98	84.44	203
BMa	53.2	4.37	-84.28	84.41	273
B50RMa	53.2	69.09	-48.41	84.37	325
NMa	10.99	0.0	0.0	0.0	0
WMa	95.41	0.0	0.0	0.0	0
RCIE	39.92	58.69	27.98	65.01	25
JCIE	81.26	-2.9	71.56	71.62	92
GCIE	52.23	-42.45	13.59	44.59	162
BCIE	30.57	1.35	-46.48	46.51	272

%Regularität

$g^*_{H,rel} = 47$

$g^*_{C,rel} = 100$

relative Inform. Technology (IT)

obv3*	1.0	1.0	1.0	(1.0)
cmv3*	0.0	0.0	0.0	(0.0)
olv4*	1.0	1.0	1.0	1.0
cmv4*	0.0	0.0	0.0	0.0

standard and adapted CIELAB

LAB*LAB	74.31	0.0	0.0
LAB*LABa	95.41	0.0	-0.01
LAB*LABb	95.41	0.0	0.0
LAB*TCHa	99.99	0.01	-

relative CIELAB lab*

lab*lab	1.0	0.0	0.0
lab*tch	1.0	0.0	-
lab*nch	0.0	0.0	-

relative Natural Colour (NC)

lab*ljr	1.0	0.0	0.0
lab*tce	1.0	0.0	-
lab*nce	0.0	0.0	-

relative Inform. Technology (IT)

obv3*	0.994	1.0	0.75	(1.0)
cmv3*	0.006	0.0	0.25	(0.0)
olv4*	0.994	1.0	0.75	1.0
cmv4*	0.006	0.0	0.25	0.0

standard and adapted CIELAB

LAB*LAB	84.85	-0.81	20.72
LAB*LABa	84.85	-0.82	20.72
LAB*LABb	87.5	20.73	92.31

relative CIELAB lab*

lab*lab	0.75	0.25	0.256
lab*tch	0.75	0.25	0.256
lab*nch	0.0	0.25	0.256

relative Natural Colour (NC)

lab*ljr	0.75	0.0	0.25
lab*tce	0.75	0.25	0.256
lab*nce	0.0	0.25	0.256

relative Inform. Technology (IT)

obv3*	0.75	0.75	0.75	(1.0)
cmv3*	0.25	0.25	0.25	(0.0)
olv4*	1.0	1.0	1.0	1.0
cmv4*	0.0	0.0	0.0	0.0

standard and adapted CIELAB

LAB*LAB	74.31	0.02	0.0
LAB*LABa	74.31	0.0	0.0
LAB*LABb	75.0	0.01	-

relative CIELAB lab*

lab*lab	0.75	0.0	0.0
lab*tch	0.75	0.0	-
lab*nch	0.25	0.0	-

relative Natural Colour (NC)

lab*ljr	0.75	0.0	0.0
lab*tce	0.75	0.0	0.0
lab*nce	0.25	0.0	-

relative Inform. Technology (IT)

obv3*	0.5	0.5	0.5	(1.0)
cmv3*	0.5	0.5	0.5	(0.0)
olv4*	1.0	1.0	1.0	0.5
cmv4*	0.0	0.0	0.0	0.5

standard and adapted CIELAB

LAB*LAB	53.21	0.04	0.0
LAB*LABa	53.21	0.0	0.0
LAB*LABb	50.0	0.01	-

relative CIELAB lab*

lab*lab	0.5	0.0	0.0
lab*tch	0.5	0.0	-
lab*nch	0.25	0.0	-

relative Natural Colour (NC)

lab*ljr	0.5	0.0	0.0
lab*tce	0.5	0.0	0.0
lab*nce	0.25	0.0	-

relative Inform. Technology (IT)

obv3*	0.25	0.25	0.25	(1.0)
cmv3*	0.75	0.75	0.75	(0.0)
olv4*	1.0	1.0	1.0	0.25
cmv4*	0.0	0.0	0.0	0.75

standard and adapted CIELAB

LAB*LAB	32.11	0.05	0.01
LAB*LABa	32.11	0.0	0.0
LAB*LABb	25.0	0.01	-

relative CIELAB lab*

lab*lab	0.25	0.0	0.0
lab*tch	0.25	0.0	-
lab*nch	0.125	0.0	-

relative Natural Colour (NC)

lab*ljr	0.25	0.0	0.0
lab*tce	0.25	0.0	0.0
lab*nce	0.125	0.0	-

relative Inform. Technology (IT)

obv3*	0.0	0.0	0.0	(1.0)
cmv3*	1.0	1.0	1.0	(0.0)
olv4*	1.0	1.0	1.0	0.0
cmv4*	0.0	0.0	0.0	1.0

standard and adapted CIELAB

LAB*LAB	11.01	0.0	0.0
LAB*LABa	11.01	0.0	0.0
LAB*LABb	0.0	0.0	0.0

relative CIELAB lab*

lab*lab	0.0	0.0	0.0
lab*tch	0.0	0.0	0.0
lab*nch	0.0	0.0	0.0

relative Natural Colour (NC)

lab*ljr	0.0	0.0	0.0
lab*tce	0.0	0.0	0.0
lab*nce	1.0	0.0	-

relative Inform. Technology (IT)

obv3*	0.994	1.0	0.75	(1.0)
cmv3*	0.006	0.0	0.25	(0.0)
olv4*	0.994	1.0	0.75	1.0
cmv4*	0.006	0.0	0.25	0.0

standard and adapted CIELAB

LAB*LAB	84.85	-0.81	20.72
LAB*LABa	84.85	-0.82	20.72
LAB*LABb	87.5	20.73	92.31

relative CIELAB lab*

lab*lab	0.75	0.25	0.256
lab*tch	0.75	0.25	0.256
lab*nch	0.0	0.25	0.256

relative Natural Colour (NC)

lab*ljr	0.75	0.0	0.25
lab*tce	0.75	0.25	0.256
lab*nce	0.0	0.25	0.256

relative Inform. Technology (IT)

obv3*	0.744	0.75	0.5	(1.0)
cmv3*	0.256	0.25	0.5	(0.0)
olv4*	0.994	1.0	0.75	0.75
cmv4*	0.006	0.0	0.25	0.25

standard and adapted CIELAB

LAB*LAB	63.75	-0.8	20.73
LAB*LABa	63.75	-0.83	20.72
LAB*LABb	62.5	20.74	92.33

relative CIELAB lab*

lab*lab	0.75	0.25	0.256
lab*tch	0.75	0.25	0.256
lab*nch	0.25	0.25	0.256

relative Natural Colour (NC)

lab*ljr	0.75	0.0	0.25
lab*tce	0.75	0.25	0.256
lab*nce	0.25	0.25	0.256

relative Inform. Technology (IT)

obv3*	0.489	0.5	0.0	(1.0)
cmv3*	0.506	0.5	0.75	(0.0)
olv4*	0.994	1.0	0.75	0.5
cmv4*	0.006	0.0	0.25	0.5

standard and adapted CIELAB

LAB*LAB	42.65	-0.78	20.73
LAB*LABa	42.65	-0.83	20.72
LAB*LABb	37.5	20.74	92.33

relative CIELAB lab*

lab*lab	0.5	0.0	0.5
lab*tch	0.5	0.0	0.5
lab*nch	0.25	0.5	0.5

relative Natural Colour (NC)

lab*ljr	0.5	0.0	0.5
lab*tce	0.5	0.0	0.5
lab*nce	0.25	0.5	0.5

relative Inform. Technology (IT)

obv3*	0.25	0.25	0.25	(1.0)
cmv3*	0.756	0.75	1.0	(0.0)
olv4*	0.989	1.0	0.75	0.25
cmv4*	0.011	0.0	0.5	0.5

standard and adapted CIELAB

LAB*LAB	32.1	-1.62	41.45
LAB*LABa	32.1	-1.68	41.43
LAB*LABb	25.01	41.46	92.33

relative CIELAB lab*

lab*lab	0.25	-0.019	0.499
lab*tch	0.25	0.5	0.256
lab*nch	0.125	0.5	0.256

relative Natural Colour (NC)

lab*ljr	0.25	0.0	0.5
lab*tce	0.25	0.5	0.256
lab*nce	0.125	0.5	0.256

relative Inform. Technology (IT)

obv3*	0.989	1.0	0.5	(1.0)
cmv3*	0.011	0.0	0.5	(0.0)
olv4*	0.989	1.0	0.5	1.0
cmv4*	0.011	0.0	0.5	0.0

standard and adapted CIELAB

LAB*LAB	74.3	-1.64	41.44
LAB*LABa	74.3	-1.67	41.44
LAB*LABb	75.0	41.47	92.32

relative CIELAB lab*

lab*lab	0.75	-0.019	0.499
lab*tch	0.75	0.5	0.256
lab*nch	0.0	0.5	0.256

relative Natural Colour (NC)

lab*ljr	0.75	0.0	0.5
lab*tce	0.75	0.5	0.256
lab*nce	0.0	0.5	0.256

relative Inform. Technology (IT)

obv3*	0.739	0.75	0.25	(1.0)
cmv3*	0.261	0.25	0.75	(0.0)
olv4*	0.989	1.0	0.5	0.75
cmv4*	0.011	0.0	0.5	0.25

standard and adapted CIELAB

LAB*LAB	53.2	-1.63	41.45
LAB*LABa	53.2	-1.68	41.44
LAB*LABb	50.0	41.47	92.33

relative CIELAB lab*

lab*lab	0.75	-0.019	0.5
lab*tch	0.75	0.5	0.256
lab*nch	0.25	0.5	0.256

relative Natural Colour (NC)

lab*ljr	0.75	0.0	0.5
lab*tce	0.75	0.5	0.256
lab*nce	0.25	0.5	0.256

relative Inform. Technology (IT)

obv3*	0.489	0.5	0.0	(1.0)
cmv3*	0.511	0.5	1.0	(0.0)
olv4*	0.989	1.0	0.75	0.25
cmv4*	0.011	0.0	0.5	0.5

standard and adapted CIELAB

LAB*LAB	32.1	-1.62	41.45
LAB*LABa	32.1	-1.68	41.43
LAB*LABb	25.01	41.46	92.33

relative CIELAB lab*

lab*lab	0.25	-0.019	0.499
lab*tch	0.25	0.5	0.256
lab*nch	0.125	0.5	0.256

relative Natural Colour (NC)

lab*ljr	0.25	0.0	0.5
lab*tce	0.25	0.5	0.256
lab*nce	0.125	0.5	0.256

relative Inform. Technology (IT)

obv3*	0.0	0.0	0.0	(1.0)
cmv3*	1.0	1.0	1.0	(0.0)
olv4*	1.0	1.0	1.0	0.0
cmv4*	0.0	0.0	0.0	1.0

standard and adapted CIELAB

LAB*LAB	11.01	0.0	0.0
LAB*LABa	11.01	0.0	0.0
LAB*LABb	0.0	0.0	0.0

relative CIELAB lab*

lab*lab	0.0	0.0	0.0
lab*tch	0.0	0.0	0.0
lab*nch	0.0	0.0	0.0

relative Natural Colour (NC)

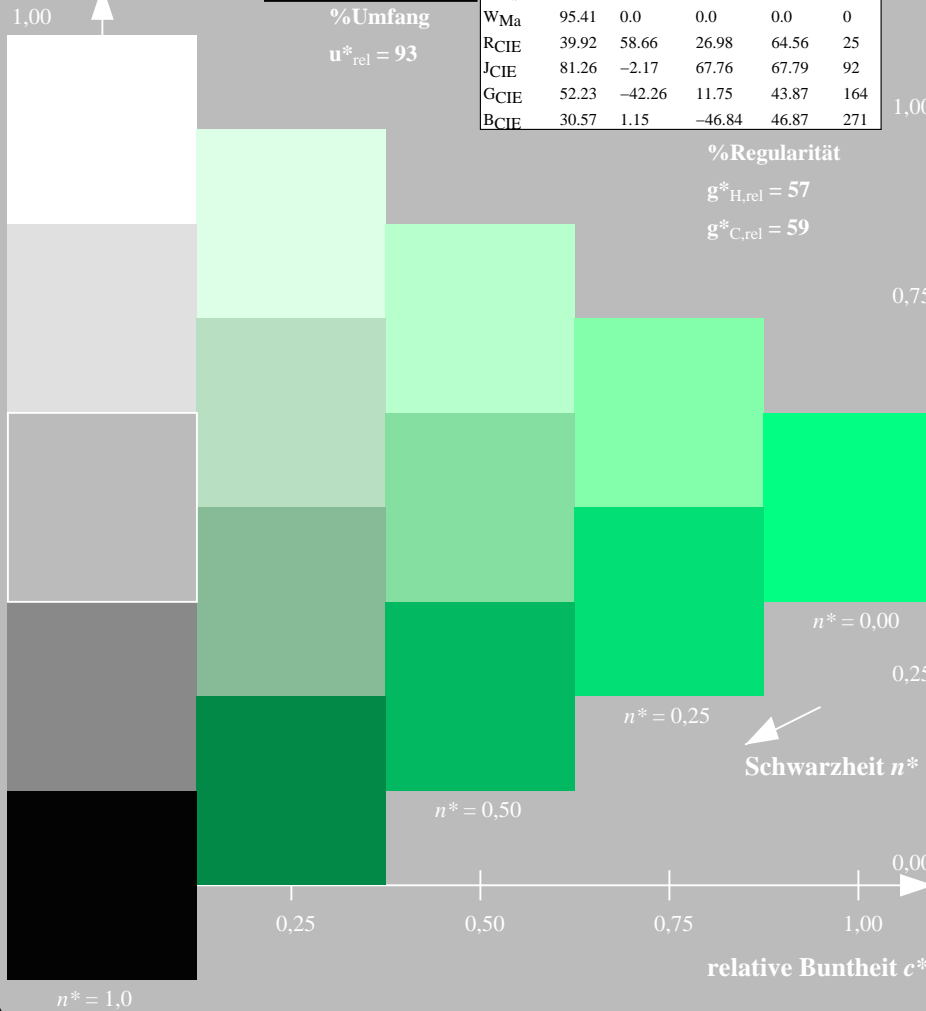
lab*ljr	0.0	0.0	0.
---------	-----	-----	----

Eingabe: Farbmatisches Reflexions-System ORS18

für Buntton $h^* = lab^*h = 164/360 = 0.457$
 lab^*tch und lab^*nch

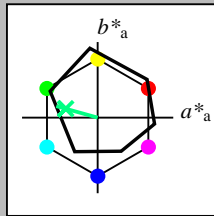
D65: Buntton G
 LCH*Ma: 53 57 164
 rgb*Ma: 0.0 1.0 0.25

Dreiecks-Helligkeit



ORS18; adaptierte CIELAB-Daten

	$L^* = L^*_a$	a^*_a	b^*_a	$C^*_{ab,a}$	$h^*_{ab,a}$
OMa	47.94	65.37	50.52	82.62	38
YMa	90.37	-10.27	91.77	92.34	96
LMa	50.9	-62.79	34.95	71.87	151
CMa	58.62	-30.35	-45.01	54.3	236
VMa	25.71	31.11	-44.42	54.24	305
MMa	48.13	75.27	-8.35	75.73	354
NMa	18.01	0.0	0.0	0.0	0
WMa	95.41	0.0	0.0	0.0	0
RCIE	39.92	58.66	26.98	64.56	25
JCIE	81.26	-2.17	67.76	67.79	92
GCIE	52.23	-42.26	11.75	43.87	164
BCIE	30.57	1.15	-46.84	46.87	271

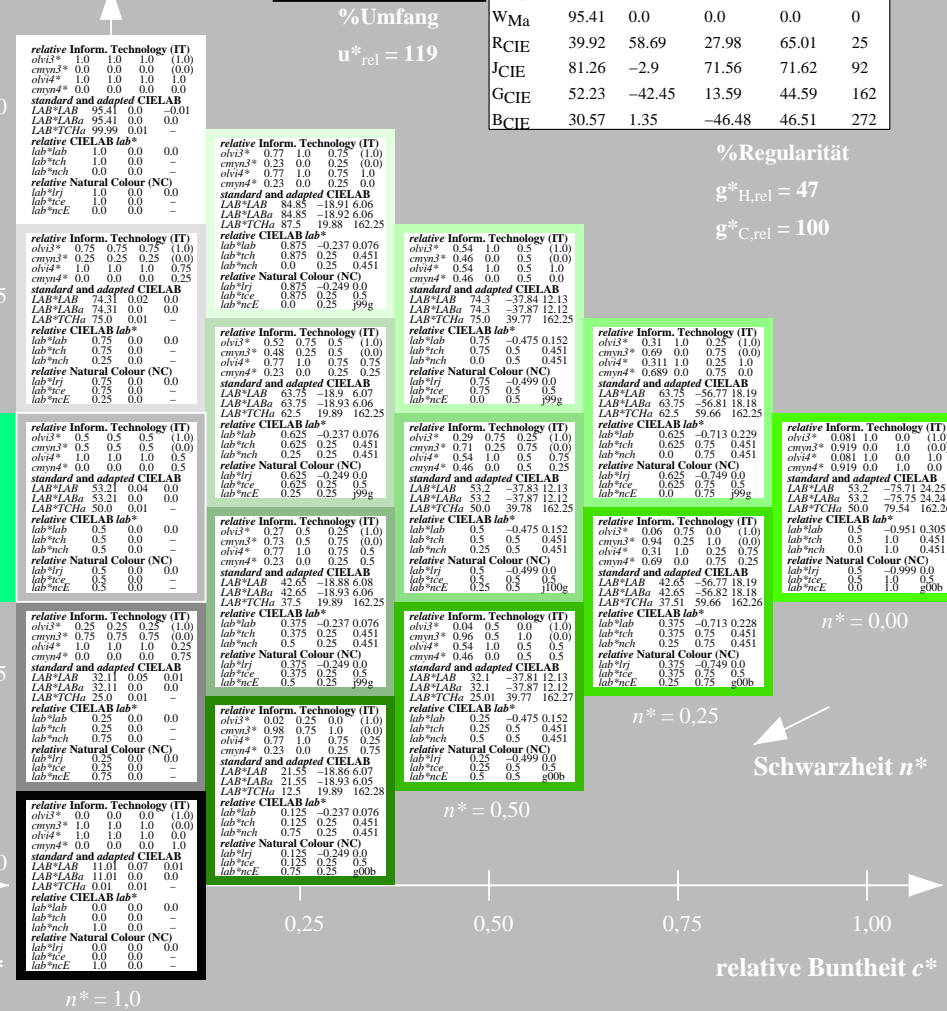


Ausgabe: Farbmatisches Reflexions-System NRS11

für Buntton $h^* = lab^*h = 162/360 = 0.451$
 lab^*tch und lab^*nch

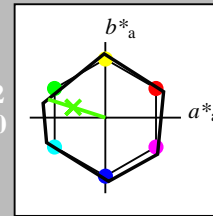
D65: Buntton G
 LCH*Ma: 53 80 162
 rgb*Ma: 0.08 1.0 0.0

Dreiecks-Helligkeit



NRS11; adaptierte CIELAB-Daten

	$L^* = L^*_a$	a^*_a	b^*_a	$C^*_{ab,a}$	$h^*_{ab,a}$
RMa	53.2	77.06	34.32	84.36	24
JMa	53.2	-1.51	84.38	84.39	91
GMa	53.2	-82.27	18.98	84.44	167
G50BMa	53.2	-77.72	-32.98	84.44	203
BMa	53.2	4.37	-84.28	84.41	273
B50RMa	53.2	69.09	-48.41	84.37	325
NMa	10.99	0.0	0.0	0.0	0
WMa	95.41	0.0	0.0	0.0	0
RCIE	39.92	58.69	27.98	65.01	25
JCIE	81.26	-2.9	71.56	71.62	92
GCIE	52.23	-42.45	13.59	44.59	162
BCIE	30.57	1.35	-46.48	46.51	272



TG42-7, 5stufige Reihen für konstanten CIELAB Buntton 164/360 = 0.457 (links)

5 stufige Reihen für konstanten CIELAB Buntton 162/360 = 0.451 (rechts)

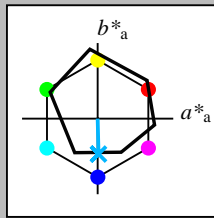
BAM-Prüfvorlage TG42; Farbmatisches System ORS18 & NRS11 input: $olv^* \text{ setrgbcolor}$
 D65: 5stufige Farbreihen und Koordinaten-Daten für 10 Bunttöne output: $olv^* \text{ setrgbcolor} / w^* \text{ setgray}$

Eingabe: Farbmatisches Reflexions-System ORS18

für Buntton $h^* = lab^*h = 271/360 = 0.754$
 lab^*tch und lab^*nch

D65: Buntton B
 LCH*Ma: 42 45 271
 rgb*Ma: 0.0 0.49 1.0

Dreiecks-Helligkeit



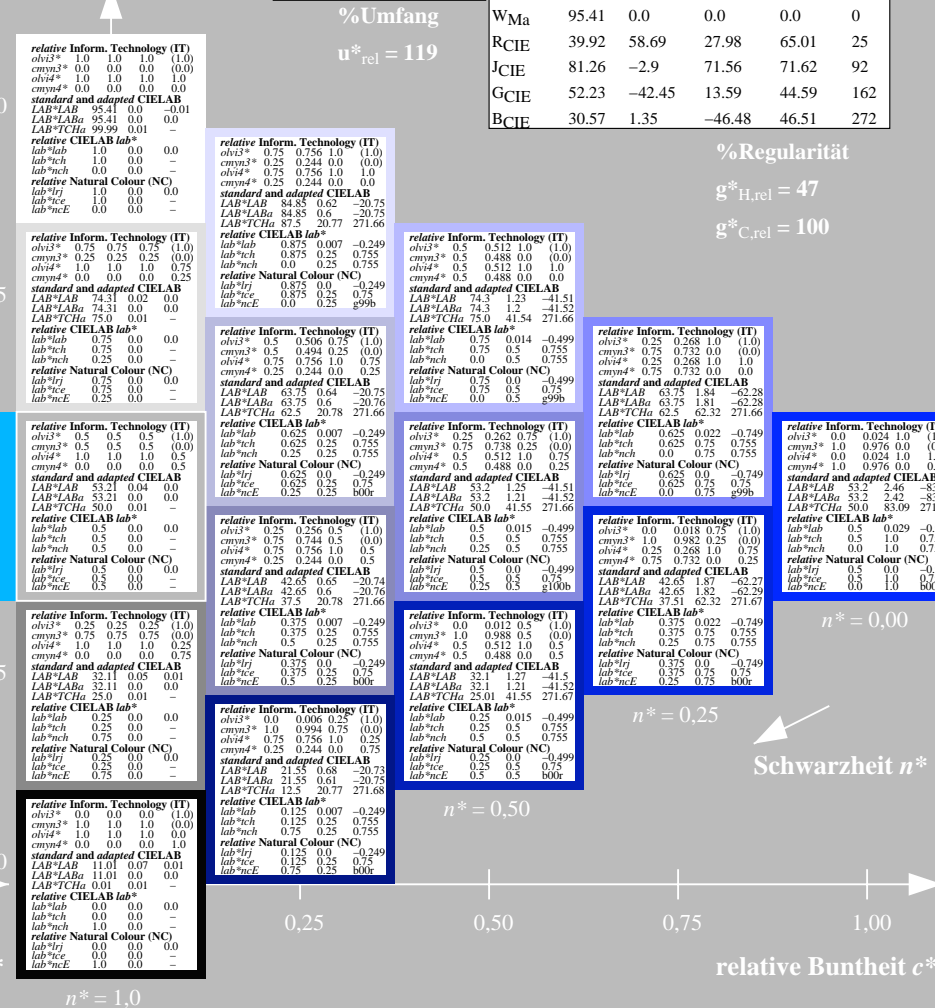
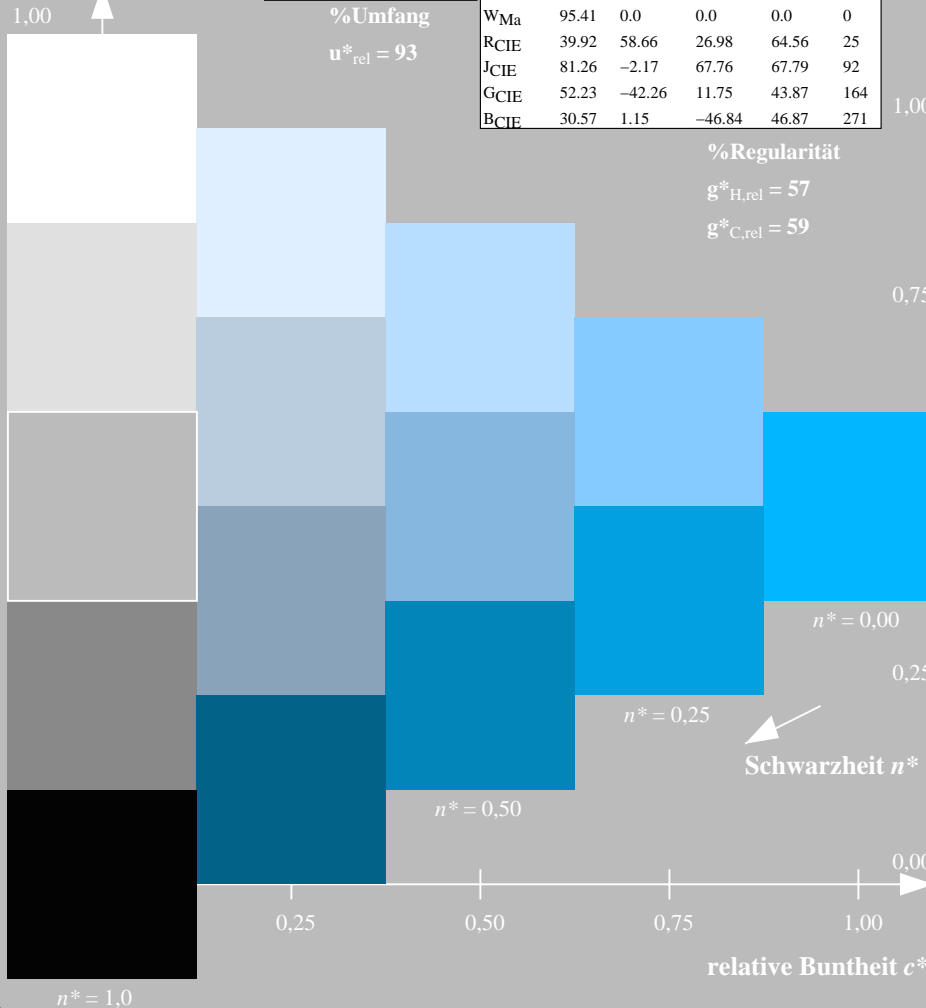
ORS18; adaptierte CIELAB-Daten

	$L^*=L^*_a$	a^*_a	b^*_a	$C^*_{ab,a}$	$h^*_{ab,a}$
OMa	47.94	65.37	50.52	82.62	38
YMa	90.37	-10.27	91.77	92.34	96
LMa	50.9	-62.79	34.95	71.87	151
CMa	58.62	-30.35	-45.01	54.3	236
VMa	25.71	31.11	-44.42	54.24	305
MMa	48.13	75.27	-8.35	75.73	354
NMa	18.01	0.0	0.0	0.0	0
WMa	95.41	0.0	0.0	0.0	0
RCIE	39.92	58.66	26.98	64.56	25
JCIE	81.26	-2.17	67.76	67.79	92
GCIE	52.23	-42.26	11.75	43.87	164
BCIE	30.57	1.15	-46.84	46.87	271

%Regularität

$g^*_{H,rel} = 57$

$g^*_{C,rel} = 59$

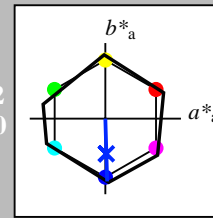


Ausgabe: Farbmatisches Reflexions-System NRS11

für Buntton $h^* = lab^*h = 272/360 = 0.755$
 lab^*tch und lab^*nch

D65: Buntton B
 LCH*Ma: 53 83 272
 rgb*Ma: 0.0 0.02 1.0

Dreiecks-Helligkeit



NRS11; adaptierte CIELAB-Daten

	$L^*=L^*_a$	a^*_a	b^*_a	$C^*_{ab,a}$	$h^*_{ab,a}$
RMa	53.2	77.06	34.32	84.36	94
JMa	53.2	-1.51	84.38	84.39	91
GMa	53.2	-82.27	18.98	84.44	167
G50BMa	53.2	-77.72	-32.98	84.44	203
BMa	53.2	4.37	-84.28	84.41	273
B50RMa	53.2	69.09	-48.41	84.37	325
NMa	10.99	0.0	0.0	0.0	0
WMa	95.41	0.0	0.0	0.0	0
RCIE	39.92	58.69	27.98	65.01	25
JCIE	81.26	-2.9	71.56	71.62	92
GCIE	52.23	-42.45	13.59	44.59	162
BCIE	30.57	1.35	-46.48	46.51	272

%Regularität

$g^*_{H,rel} = 47$

$g^*_{C,rel} = 100$

TG42-7, 5stufige Reihen für konstanten CIELAB Buntton 271/360 = 0.754 (links)

5stufige Reihen für konstanten CIELAB Buntton 272/360 = 0.755 (rechts)

BAM-Prüfvorlage TG42; Farbmatisches System ORS18 & NRS11 input: $olv^* setrgbcolor$

D65: 5stufige Farbreihen und Koordinaten-Daten für 10 Bunttöne output: $olv^* setrgbcolor / w^* setgray$